

## کاربرد مدل SATEEC در محیط GIS در برآورد رسوب‌زایی و تهیه نقشه شدت فرسایش زیر حوضه آبخیز سد زاینده‌رود

حسین کریمی، حسین کریمی وردنجانی و سیف‌الله قربانی

به ترتیب کارشناسان ارشد خاکشناسی skarimi343@yahoo.com، هیدروژئولوژی شرکت مهندسین مشاور پورآب و کارشناس منابع طبیعی و آبخیزداری استان چهارمحال و بختیاری

فرسايش تشدیدی خاک با توجه به اثرات زیست محیطی و اقتصادی آن می‌تواند بعنوان یکی از مشکلات جهانی مطرح گردد. مدل‌های کامپیوتری فراوانی جهت برآورد رسوب و فرسایش در اراضی کشاورزی، مراتع و جنگل‌ها ارائه گردیده است. معادله جهانی اصلاح شده هدرروی خاک (RUSLE) در بسیاری کشورها بکار رفته و داده‌های ورودی این مدل طی سالیان گذشته مورد بررسی و تجدید نظر قرار گرفته است. این مدل کاربرد وسیعی در اراضی کشاورزی دارد و بندرت در مراتع مورد استفاده قرار می‌گیرد. مدل SATEEC (Sediment Assessment Tool) for Effective Erosion Control (for Effective Erosion Control) جهت برآورد هدرروی خاک و رسوب ویژه در اراضی کشاورزی و حوضه‌های آبخیز با استفاده از مدل RUSLE بسط یافته است. عوامل مؤثر در فرسایش از قبیل فرسایندگی باران (R)، فرسایش پذیری خاک (K)، کاربری اراضی (C) و عملیات حفاظتی (P) (عنوان نقشه‌های (Rسترنی) ورودی این مدل در محیط GIS تهیه گردید. مدل SATEEC با استفاده از مدل رقومی ارتفاع (DEM) نقشه‌های جهت جريان (Flow Direction) و تجمع جريان (Flow Accumulation) را ترسیم و بدنیال آن عامل تندی و طول شیب (LS) را در قالب نقشه رسترن LS محاسبه نمود. عوامل فوق بعنوان نقشه‌های ورودی این مدل استفاده گردید و نقشه شدت رسوب ویژه حوضه مطالعاتی بدست آمد. کلیه مراحل فوق بصورت اتوماتیک و توسط زبان برنامه‌نویسی Avenue صورت پذیرفت. نقشه شدت رسوب ویژه نشان می‌دهد که میزان رسوب متوسط سالانه حاصل از فرسایش سطحی و شیاري ۱/۷۹ تن در هکتار در سال می‌باشد و مقادیر زیاد تولید رسوب و تمرکز فرسایش در ارتفاعات و شیب‌های کناری آبراهه‌ها قرار گرفته‌اند. تحقیق حاضر نشان می‌دهد که استفاده از مدل SATEEC می‌تواند برآورد قابل قبولی از میزان فرسایش سطحی و شیاري در حوضه‌های آبخیز کشور داشته باشد.

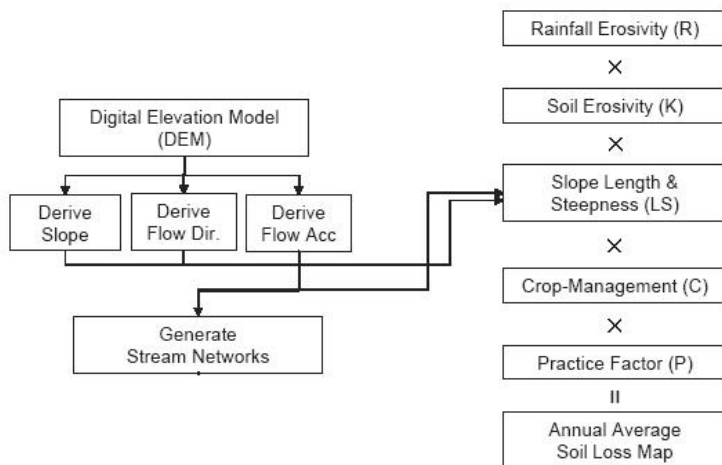
واژه‌های کلیدی: رسوب ویژه، GIS و SATEEC، RUSLE

## مقدمه

فرسایش تشیدی خاک از مشکلات عمدۀ عصر حاضر میباشد و دستیابی دقیق به اثرات اقتصادی و زیست محیطی آن بدليل فرایندهای پیچیده آن بسیار مشکل است. بسیاری از فعالیت‌های انسان از قبیل معدن کاری، ساخت و ساز، کشاورزی و بهم زدن خاک سطحی موجب این فرسایش میگردند (*Lal 1994*). بنابر گزارش سازمان ملل (*UNEP 1991*) سالانه حاصلخیزی ۲۰ میلیون هکتار از اراضی کشاورزی جهان در اثر فرسایش و تخریب اراضی کاهش یافته بطوری که کشت و کار در این اراضی غیراقتصادی میباشد. علاوه بر این فرسایش خاک در اراضی کشاورزی میتواند لطمات جبران ناپذیری بر محیط زیست وارد سازد. اتصال مواد غذایی موجود در خاک به ذرات رسوب و انتقال آنها توسط فرایند فرسایش میتواند علاوه بر کاهش حاصلخیزی اراضی، آلودگی رودخانه‌ها و اراضی پائین دست را نیز شامل شود (*Ouyang and Bartholic 1997*).

در طی سالیان گذشته جهت برآورد فرسایش خاک و برنامه ریزی مبارزه با آن مدل‌های فرسایشی گوناگونی از قبیل *Flanagan and WEPP* (*Wischmeier and Smith 1978*), *USLE* (*Morgan et al 1998*), *EuroSEM* (*Arnold et al 1998*), *SWAT*, (*Nearing 1995*) ارائه شده‌اند. در چهل سال گذشته مدل *USLE* به دلیل سادگی جمع‌آوری اطلاعات آن یکی از پرکاربردترین مدل‌های فرسایشی *USEL* بوده است. *Renand* و همکاران (۱۹۹۱) جهت برآورد دقیق‌تری از میزان فرسایش مدل اصلاح شده *RUSLE* را ارائه نمودند.

سیستم‌های اطلاعات جغرافیایی (*GIS*) تجزیه و تحلیل داده‌های مکانی را به سادگی و با سرعت بیشتر امکان پذیر می‌سازد. *Yitayew* و همکاران ۱۹۹۹ از *GIS* در برآورد فرسایش به روش *USLE* استفاده نمودند. ابزار برآورد *(Sediment Assessment Tool for Effective Erosion Control)* رسوب جهت کنترل مؤثر فرسایش (*Lim et al 2003*) یک مدل ترکیب شده با *GIS* میباشد که با استفاده از آن میتوان با اطلاعات ورودی لازم در مدل *RUSLE* به تخمینی از میزان فرسایش و نقشه شدت فرسایش منطقه دست یافت. شکل (۱) نشان دهنده فلوچارت کلی ورودی و خروجی اطلاعات در مدل *SATEEC* را نشان می‌دهد.



شکل (۱) فلوچارت و شماتی کلی مدل *SATEEC*

مدل RUSLE برآورده از میزان هدر روی خاک در واحد سطح برای فرسایش سطحی و شیاری را ارائه می‌دهد.

مدل RUSLE از طریق معادله (۱) میزان فرسایش را محاسبه می‌کند.

$$A = RKLSCP \quad (1)$$

A:	(سال / ایکر / تن) میانگین سالیانه هد روی خاک
R:	قدرت فرسایش دهنده باران و روان آب
K:	فرسایش پذیر خاک
LS:	طول و تندی شیب
C:	پوشش گیاهی
P:	عملیات اصلاحی

برای بدست آوردن  $R$  از حاصلضرب انرژی جنبشی  $E$  باران در بیشترین شدت ۳۰ دقیقه‌ای ( $I_{30}$ ) استفاده می‌شود.

جهت برآورده فرسایش پذیری خاک از ۵ ویژگی خاک که در حساسیت خاک اهمیت دارد استفاده می‌شود

(Wischmeier and Smith 1978). این ویژگیها شامل درصد شن، مجموع درصد سیلت و شن خیلی ریز،

درصد ماده آلی، ساختمان و نفوذ پذیری خاک می‌باشند. با استفاده از نمودگراف فرسایش پذیری خاک مقدار عددی

فرسایش پذیری خاک ( $K$ ) حاصل می‌شود. عوامل تندی ( $S$ ) و طول ( $L$ ) شیب نشان‌دهنده اثر توپوگرافی بر

فرسایش می‌باشند. فرمول‌ها تجربی زیادی جهت برآورده تندی و طول شیب ارائه شده‌اند. Yitayew در سال ۱۹۹۹

فاکتور  $LS$  را با استفاده از GIS محاسبه نمود. در این روش جهت تهیه نقشه طول و تندی شیب از مدل رقومی

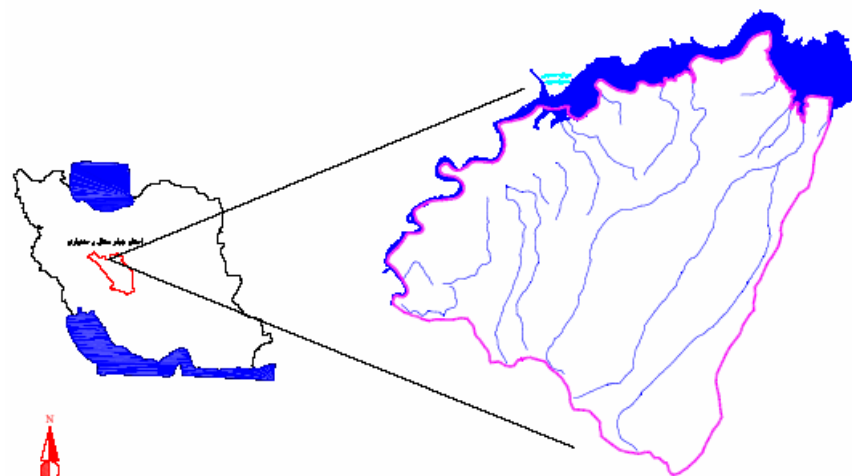
ارتفاع (DEM) استفاده می‌شود. در مدل SATEEC جهت برآورده  $LS$  از معادله (۲) استفاده می‌شود.

$$LS = \left( \frac{A}{22.13} \right)^{0.4} \times \left( \frac{\sin \theta}{0.0896} \right) \quad (2)$$

که در آن  $A$  حاصلضرب تجمع جریان (Flow accumulation) در اندازه سلول‌های نقشه رستری و  $\theta$  زاویه شیب بر حسب درجه می‌باشد. فاکتورهای  $C$  و  $P$  با استفاده از استانداردهای موجود و جداول مربوطه حاصل می‌شود. عوامل مؤثر در مقدار عددی فاکتور پوشش گیاهی ( $C$ ) عبارت از آسمانه گیاهی، بقایای گیاهی در سطح خاک، اثرات زراعت قبلی و عملیات شخم می‌باشند. در ایالات متحده آمریکا در مورد مراتع، جنگل‌ها و اراضی متفرقه جداولی تهیه شده است که مقدار عددی  $C$  را نشان می‌دهد. عامل حفاظت خاک ( $P$ ) برابر نسبت مقدار خاک از بین رفته در واحد سطح یک زمین حفاظت شده، به زمینی که لخت بوده و در جهت بالا و پائین شخم خورده می‌باشد. منظور از کارهای حفاظتی بیشتر کشت بر روی خطوط تراز، کشت نواری و تراس‌بندی می‌باشد. اگر هیچ‌گونه عملیات حفاظتی انجام نگیرد مقدار عددی  $P$  برابر یک می‌باشد.

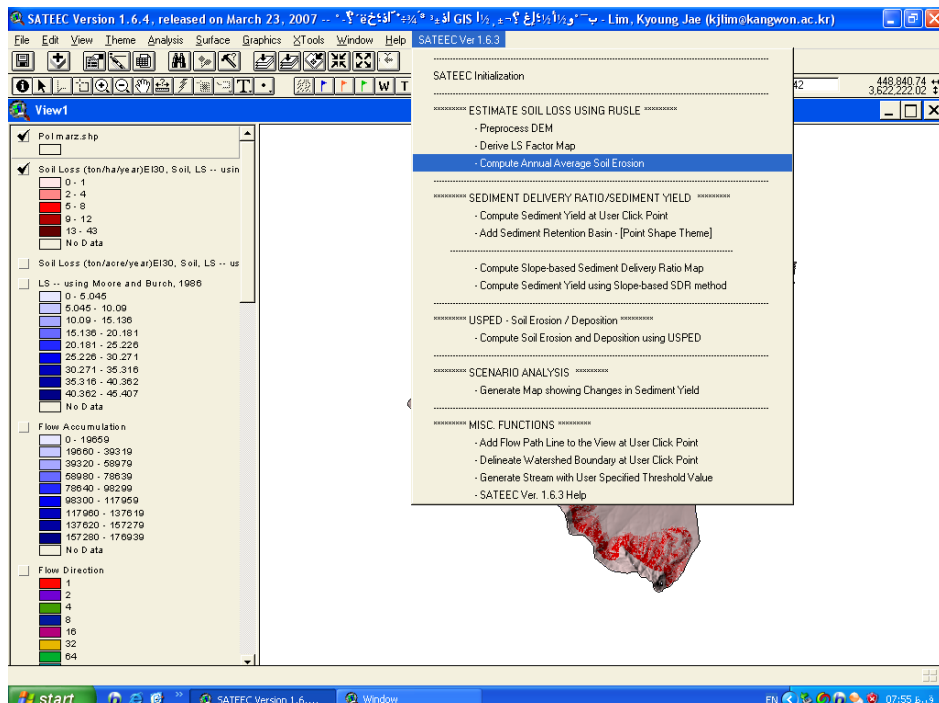
### روش تحقیق

از مدل SATEEC جهت برآورده میزان هدر روی خاک در یکی از زیرحوضه‌های سد زاینده رود واقع در استان چهارمحال و بختیاری استفاده گردید. حوضه آبخیز تحت مطالعه در موقعیت جغرافیایی  $50^{\circ}27'21''$  تا  $50^{\circ}34'25''$  شرقی و  $32^{\circ}37'37''$  تا  $32^{\circ}43'22''$  شمالی واقع و مساحتی را بالغ بر  $57/05$  کیلومتر مربع شامل می‌شود. شکل (۲) موقعیت زیرحوضه مطالعاتی را نشان می‌دهد.



شکل (۲): موقعیت جغرافیایی زیرحوضه سد زاینده رود

داده‌های ورودی این مدل شامل نقشه‌های  $P$ ,  $C$ ,  $DEM$ ,  $K$ ,  $R$  و  $LS$  می‌باشد. شکل (۳) توابع موجود در مدل SATEEC را نشان می‌دهد. هریک از نقشه‌های فوق در قالب نقشه‌های رستری بصورت لایه‌های جداگانه به محیط نرم‌افزار Arcview فراخوانده می‌شوند. بررسی و محاسبه اتوماتیک نقشه  $LS$  و شدت فرسایش توسط مدل می‌پذیرد.



شکل (۳): مدل کامپیوتری SATEEC و توابع موجود در آن

ابعاد سلولی هر یک از نقشه‌های مربوطه ( $C$ ,  $K$ ,  $R$  و  $P$ ) برابر ۱۰ متر در نظر گرفته شد. جهت برآورد  $LS$  از مدل رقومی ارتفاع و از روش *Moore and Burch (1986)* استفاده گردید. بدین منظور نقشه رستری تجمع جریان (*Flow Accumulation*) تهیه می‌گردد. مقادیر سلول‌های این نقشه نشان دهنده تعداد سلول‌هایی است که سلول مربوطه زهکش آنها می‌باشد. با توجه به اینکه ابعاد هر یک از سلول‌ها ۱۰ متر می‌باشد لذا میزان طول شیب ( $L$ ) در هر نقطه از حوضه مطالعاتی بدست خواهد آمد.

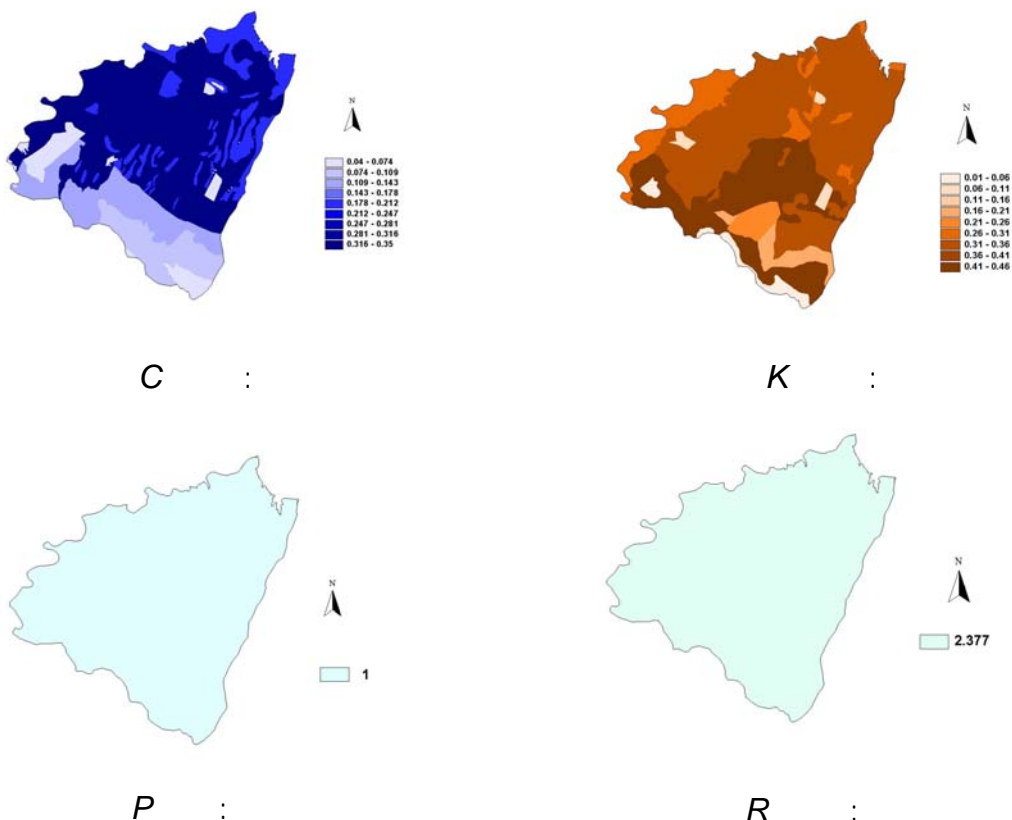
با توجه به وضعیت کاربری اراضی و پوشش زیرحوضه مقدار عدد  $C$  برای کاربری‌های مختلف حوضه محاسبه و نقشه مربوطه تهیه گردید. جهت برآورد میزان  $P$  از استانداردهای لازم استفاده و چون در حوضه تحت بررسی هیچگونه عملیات اصلاحی و مدیریتی صورت نگرفته است مقدار عددی  $P$  برابر یک در نظر گرفته شد. مقادیر عددی  $R$  با استفاده از روش ویشمایر و اسمیت ۱۹۸۷ محاسبه و برابر  $2/37$  در نظر گرفته شد. نقشه رستری فرسایش‌پذیری  $K$  با استفاده از خصوصیات هر یک از اجزاء واحد اراضی محاسبه گردید. نقشه‌های حاصل با توجه به فلوچارت ارائه شده در محیط *Arcview* با یکدیگر ترکیب گردیدند.

## نتایج و بحث

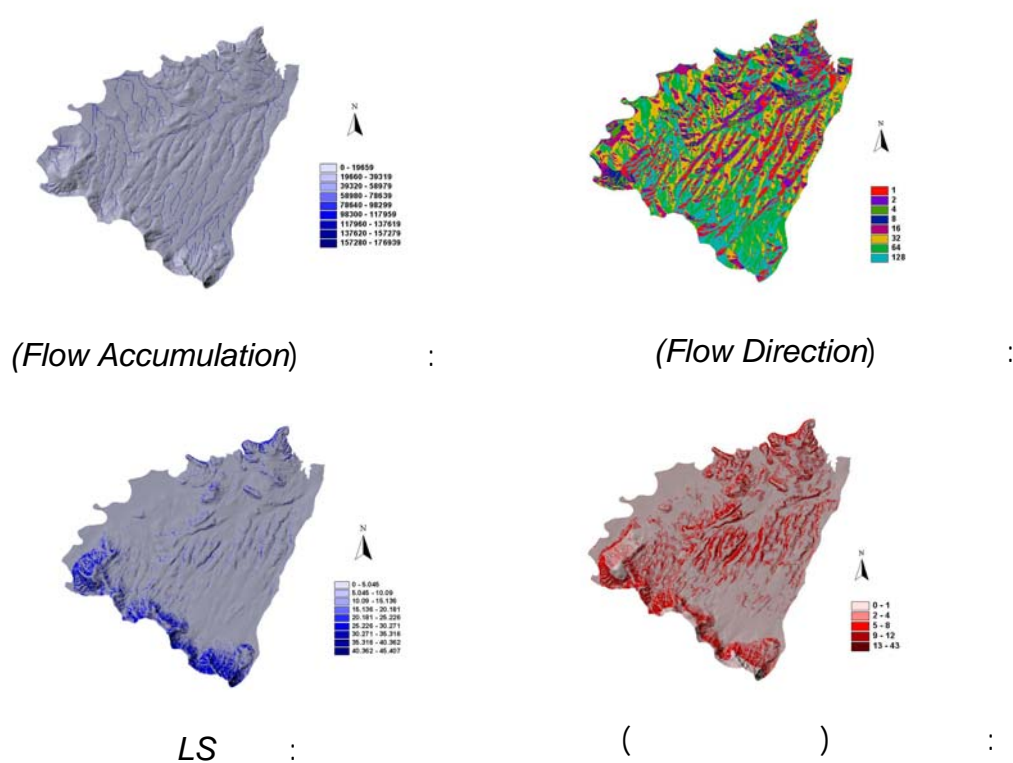
مدل کامپیوتری *SATEEC* میانگین سالیانه هدرروی خاک را برآورد و نقشه‌های حاصل از این مدل نشانده‌نده میزان حساسیت مکانی تمامی قسمت‌های حوضه مطالعاتی به فرسایش می‌باشد. نقشه‌های  $K$ ,  $R$ ,  $C$  و  $P$  در شکل (۴) نشان داده شده‌اند. هماطور که در نقشه ۴-ب مشخص شده است نواحی جنوبی حوضه بدليل ویژگیهای خاک فرسایش پذیری بیشتری را نشان می‌دهد در صورتی که فاکتور پوشش گیاهی و مدیریتی در مناطق جنوبی مقادیر کمتری رانشان میدهد. با توجه به وجود نواحی روستایی و دخل تصرف در اراضی مزبور وجود مقادیر بیشتر فاکتور  $C$  دور از انتظار نمی‌باشد.

شکل (۵) نقشه‌های اولیه جهت جریان (*Flow Accumulation*) و تجمع جریان (*Flow Direction*) را جهت تهیه فاکتور  $LS$  نشان می‌دهد.

نقشه شدت رسوب ویژه نشان می‌دهد که میزان رسوب متوسط سالانه حاصل از فرسایش سطحی و شیاری ۱/۷۹ تن در هکتار در سال می‌باشد (شکل ۵-د) و مقادیر زیاد تولید رسوب و تمرکز فرسایش در ارتفاعات و شیب‌های کناری آبراهه‌ها قرار گرفته‌اند. تحقیق حاضر نشان می‌دهد که استفاده از مدل *SATEEC* می‌تواند برآورد قابل قبولی از میزان فرسایش سطحی و شیاری در حوضه‌های آبخیز کشور داشته باشد. لازم به یادآوری است که برآورد حوضه‌های مطالعاتی دیگر و واسنجی این مدل برای شرایط کشورمان الزامی می‌باشد.



شکل (۴): نقشه فاکتورهای فرسایش پذیری، پوشش گیاهی، فرسایش دهنگی و عملیات حفاظتی



شکل (۵): نقشه جهت و تجمع جریان، فاکتور  $LS$  و هدرروی خاک

## مراجع

- Arnold, J. G., Srinivasan, R., Muttiah, R. S., Williams, J. R., 1998. Large area hydrologic modeling and assessment part I: model development. *Journal of American Water Resources Association* 34(1), 73–89.
- Flanagan, D. C., Nearing, M. A., 1995. USDA water erosion prediction project: hillslope profile and watershed model documentation. NSERL Report No. 10. USDA ARS National Soil Erosion Research Laboratory, West Lafayette, IN 47907-1194.
- Lal, R., 1994. Soil erosion by wind and water: problems and prospects. In: Lal, R.( Ed.), *Soil Erosion Research Methods*, (Second edition) Soil and Water Conservation Society, St. Lucie Press, Delray Beach, FL.
- Morgan, R. P. C., Quinton, J. N., Smith, R. E., Govers, G., Poesen, J. W. A., Auerswald, K., Chisci, G., Torri, D., Styczen, M. E., 1998. The European Soil Erosion Model(EUROSEM): a dynamic approach for predicting sediment transport from fields and small catchments. *Earth Surface Processes and Landforms* 23, 527 -544.
- Ouyang, D., Bartholic, J., 1997. Predicting sediment delivery ratio in Saginaw Bay watershed. Proceedings of the 22<sup>nd</sup> National Association of Environmental Professionals Conference. May19–23, 1997, Orlando, FL, pp. 659–671.
- Renard, K. G., Foster, G. R., Weesies, G. A., Porter, J. P., 1991. RUSLE: revised universal soil loss equation. *Journal of Soil and Water Conservation* 46 ( 1), 30–33.
- United Nation Environmental Program, 1991. Status of Desertification and Implementation of the UN Plan of Action to Combat Desertification. UNEP,Nairobi, Kenya.
- Wischmeier, W. H., Smith, D. D., 1978. Predicting rainfall erosion losses. A guide to conservation planning. The USDA Agricultural Handbook No. 537.